

МОСКОВСКИЙ ФИЗИКО-ТЕХНИЧЕСКИЙ ИНСТИТУТ  
(НАЦИОНАЛЬНЫЙ ИССЛЕДОВАТЕЛЬСКИЙ УНИВЕРСИТЕТ)

Физтех-школа радиотехники и кибернетики.

# Отчёт о выполнении лабораторной работы

## 1.2.3

Определение моментов инерции твердых тел с  
помощью трифилярного подвеса.

Автор:  
Устюжанина Мария Алексеевна  
Б01-107

# Введение

## Цель работы:

Измерение момента инерции тела и сравнение результатов с расчетами по теоретическим формулам. Проверка аддитивности моментов инерции и справедливости формулы Гюйгенса-Штейнера.

**Идея:** В эксперименте используется связь между периодом колебаний крутильного маятника и его моментом инерции. В качестве маятника используется трифилярный подвес, круглая платформа, подвешенная в поле тяжести на трех длинных нитях. Платформа может совершать крутильные колебания вокруг вертикальной оси. На платформу помещаются тела различной формы, измеряются периоды колебаний маятника и определяются значения моментов инерции этих тел. Теорема Гюйгенса-Штейнера проверяется по соответствию между экспериментальной и теоретической зависимостями моментов инерции грузов от их расстояния до центра платформы.

**В работе используются:** Трифилярный подвес, секундомер, счетчик числа колебаний, набор тел, момент инерции которых необходимо измерить.

## 1 Теоретические данные.

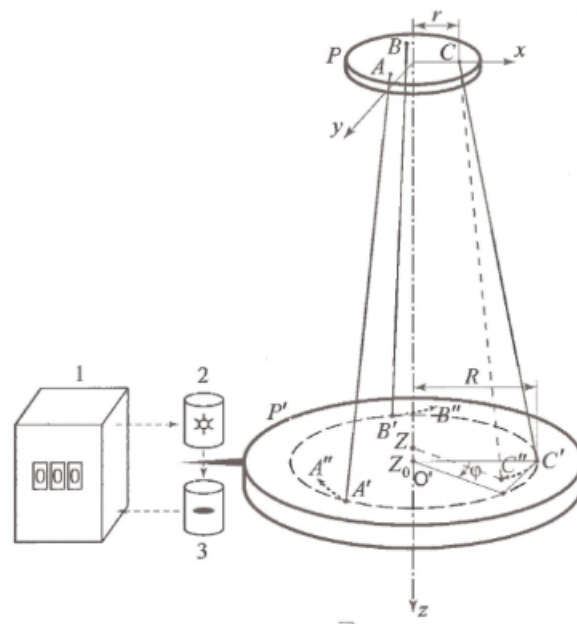


Рис. 1: Трифилярный подвес

Перед началом работы кратко изложим теоретический материал, связанный с данной темой.

Формула для нахождения момента инерции твердого тела относительно неподвижной оси вращения:

$$I = \int r^2 dm, \quad (1)$$

где  $r$  - расстояние элемента массы тела  $dm$  от оси вращения. Интегрирование производится по всей массе тела.

Уравнение сохранения энергии при колебаниях:

$$\frac{I\ddot{\phi}^2}{2} + mg(z_0 - z) = E$$

$$(R \cos \phi - r)^2 + R^2 \sin^2 \phi + z^2 = L^2$$

$$z^2 = L^2 - R^2 - r^2 + 2Rr \cos \phi \approx z_0^2 - 2Rr(1 - \cos \phi) \approx z_0^2 - Rr\phi^2$$

$$z = \sqrt{z_0^2 - Rr\phi^2} \approx z_0 - \frac{Rr\phi^2}{2z_0}$$

Трифиллярный подвес состоит из укрепленной на некоторой высоте неподвижной платформе Р и подвешенной к ней на трех симметрично расположенных нитях  $AA'$ ,  $BB'$ ,  $CC'$  вращающейся платформы Р'.

Подставляя данное уравнение в уравнение Закона Сохранения Энергии и дважды дифференцируя по времени, после сокращений, получаем:

$$I\ddot{\phi}^2 + mg\frac{Rr}{z_0}\phi = 0 \quad (2)$$

Решая уравнение (2) относительно  $\phi$ , получаем:

$$\phi = \phi_0 \sin \left( \sqrt{\frac{mgRr}{Iz_0}} t + \theta \right) \quad (3)$$

Из (3) следует, что

$$T = 2\pi \sqrt{\frac{Iz_0}{mgRr}} \quad (4)$$

$$I = kmT^2, \quad k = \frac{gRr}{4\pi^2 z_0} \quad (5)$$

## 2 Выполнение работы

1. Перед началом работы я проверила исправность установки для измерений, то есть проверила, что при возбуждении крутильных колебаний не возникают маятниковобразные движения платформ и исправно работает счетчик числа колебаний.
2. Найдем рабочий диапазон амплитуд колебаний. Для этого найдем такой диапазон, на котором амплитуда уменьшается больше чем в 2 раза, а период одинаков. Он получился равен 15-5 градусов ( $T_{15} = 4,37 \approx 4,36 = T_5$ ).
3. Найдем все параметры установки  $z_0, m, R, r$  по ним вычислим константу  $k$ , входящую в формулу 4, а также вычислим её погрешность  $\sigma_k$ :

$$R = (0,1146 \pm 0,0005)\text{м}$$

$$r = (30,2 \pm 0,3)\text{мм}$$

$$m = (965,7 \pm 0,5)\text{г}$$

Вычислим  $z_0$ , измерив расстояние от края нижней платформы до центра верхней ( $l = 2163$  мм) и применив теорему Пифагора. Данное значение сошлось со значением полученным с помощью лазерного дальномера.

$$z_0 = (2,166 \pm 0,0007)\text{м}$$

Найдем  $k$  и  $\sigma_k$ :

$$k = \frac{gRr}{4\pi^2 z_0} = \frac{9,8\text{м/с}^2 \cdot 0,1146\text{м} \cdot 0,0302\text{м}}{4 \cdot 3,14^2 \cdot 2,166\text{м}} = 3,97 \cdot 10^{-4} \approx 0,4 \cdot 10^{-3}\text{м}^2/\text{с}^2$$

$$\frac{\sigma_k}{k} = \sqrt{\left(\frac{\sigma_R}{R}\right)^2 + \left(\frac{\sigma_r}{r}\right)^2 + \left(\frac{\sigma_{z_0}}{z_0}\right)^2} = \sqrt{\left(\frac{0,5}{114,6}\right)^2 + \left(\frac{0,3}{30,2}\right)^2 + \left(\frac{7}{2166}\right)^2} \approx 0,011$$

$$\sigma_k \approx 4 \cdot 10^{-6}(\text{м/с})^2$$

4. Определим момент инерции ненагруженной платформы:

$$T = 4,36 \pm 0,01\text{с}$$

$$I_0 = k m T^2 = 0,4 \cdot 10^{-3}(\text{м/с})^2 \cdot \frac{965,7}{1000}\text{кг} \cdot 4,36^2\text{с}^2 \approx 0,0073\text{кг} \cdot \text{м}^2$$

$$\sigma_{I_0} = I_0 \sqrt{\left(\frac{\sigma_k}{k}\right)^2 + \left(\frac{\sigma_m}{m}\right)^2 + \left(\frac{\sigma_T}{T}\right)^2} \approx 0,0001$$

5. Измерим моменты инерции двух тел, сначала порознь, потом вместе, помещая тела на платформу так, чтобы центр масс находился на оси вращения. Мерить будем по 10 колебаний. Результаты запишем в таблицу:

	Кольцо	Диск	Вместе
$m_{\text{платформы}}, \text{ кг}$	0,9657	0,9657	0,9657
$m_{\text{тела}}, \text{ кг}$	0,748	1,1229	1,8709
$t, \text{ с}$	41,6	36	36,7
$T, \text{ с}$	4,16	3,6	3,67
$I + I_0$	0,0119	0,0108	0,0152
$I$	0,0046	0,0035	0,0080

$$\begin{aligned}
\sigma_{I_k+I_0} &\approx 0,0001\text{кг} \cdot \text{м}^2 \\
\sigma_{I_k} &\approx 0,0001\text{кг} \cdot \text{м}^2 \\
\sigma_{I_d+I_0} &\approx 0,0001\text{кг} \cdot \text{м}^2 \\
\sigma_{I_d} &\approx 0,0001\text{кг} \cdot \text{м}^2 \\
\sigma_{I_{\text{общ}}+I_0} &\approx 0,0002\text{кг} \cdot \text{м}^2 \\
\sigma_{I_{\text{общ}}} &\approx 0,0002\text{кг} \cdot \text{м}^2
\end{aligned}$$

$$I_{\text{общ}} = I_{\text{цил}} + I_{\text{диска}} = 0,0046 + 0,0035 = 0,0081 \approx 0,0080 = I_{\text{общ,измер.}}$$

Это доказывает аддитивность моментов инерции. Расхождение значений в пределах погрешности.

6. Рассчитаем теоретически моменты инерции тел (используя формулу (1)):

7. Рассчитаем теоретически моменты инерции тел (используя формулу 1):

$$I'_{\text{кольца}} = m_k \cdot R_k^2 = 0,748\text{кг} \cdot 0,08^2\text{м}^2 \approx 0,0048\text{кг} \cdot \text{м}^2$$

$$I'_{\text{диска}} = \frac{m_d \cdot R_d^2}{2} = \frac{1,1229\text{кг} \cdot 0,08^2\text{м}^2}{2} \approx 0,0036\text{кг} \cdot \text{м}^2$$

$$I'_{\text{общ}} = I'_k + I'_d = 0,0048 + 0,0036 = 0,0084\text{кг}/\text{м}^2$$

$$\sigma_{I'_k} = I'_k \cdot \sqrt{\left(\frac{\sigma_{m_k}}{m_k}\right)^2 + 4\left(\frac{\sigma_{R_k}}{R_k}\right)^2} \approx 0,0006\text{кг}/\text{м}^2$$

$$\sigma_{I'_d} = I'_d \cdot \sqrt{\left(\frac{\sigma_{m_d}}{m_d}\right)^2 + 4\left(\frac{\sigma_{R_d}}{R_d}\right)^2} \approx 0,0005\text{кг}/\text{м}^2$$

$$\sigma'_I = \sqrt{\sigma_{I'_k}^2 + \sigma_{I'_d}^2} \approx 0,0008\text{кг}/\text{м}^2$$

Получается, что экспериментальные и теоретические данные совпадают (с учетом погрешностей):

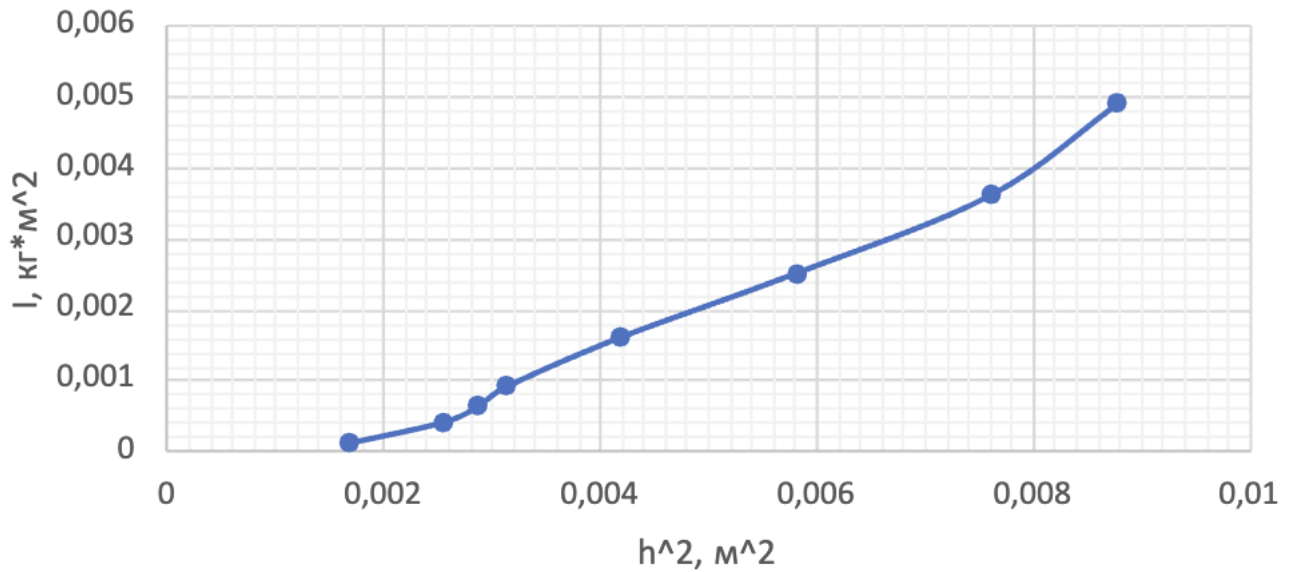
$$I_{\text{общ}} = 0,0080 \pm 0,0002\text{кг}/\text{м}^2$$

$$I'_{\text{общ}} = 0,0084 \pm 0,0008\text{кг}/\text{м}^2$$

8. Поместим на платформу диск, разрезанный по диаметру. И будем постепенно раздвигать половинки диска так, чтобы их центр масс находился на оси вращения платформы. В результате измерений получили зависимость момента инерции системы  $I$  от расстояния  $h$  каждой из половинок до оси вращения.

Построим график зависимости  $I(h^2)$  по полученным значениям:

## Зависимость $I(h^2)$



С помощью метода наименьших квадратов найдем массу системы тел и сравним ее со значением, полученным с помощью весов:

	Эксперимент	Теория
$m, \text{г}$	$1536,5 \pm 0,5$	$1516 \pm 54$
$I, \text{кг} \cdot \text{м}^2$	$0,0015 \pm 0,0001$	$0,0017 \pm 0,0001$

Из таблицы видно, что результаты эксперимента согласуются с теоретическими вычислениями.

## 3 Выводы

1. Величину момента инерции можно определить с помощью трифилярного подвеса. Результаты такого измерения совпадут с теоретическими предсказаниями в рамках погрешности. Довольно большая точность результатов при помощи подвеса обеспечивается малой погрешностью измерения времени, а также выбором условий, при которых крутильные колебания подвеса можно считать слабозатухающими.
2. В ходе эксперимента была подтверждена аддитивность момента инерции. А также была еще раз проверена теорема Гюйгенса-Штейнера.